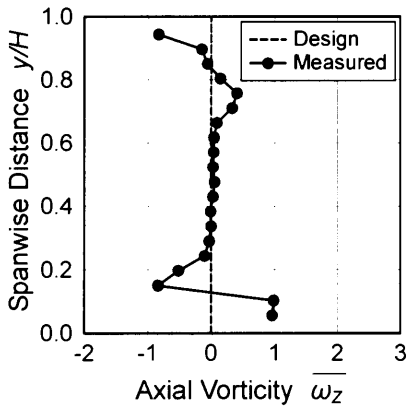
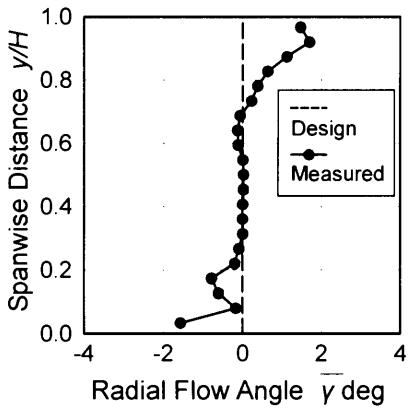
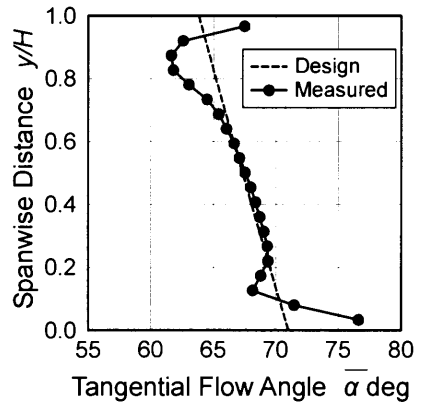
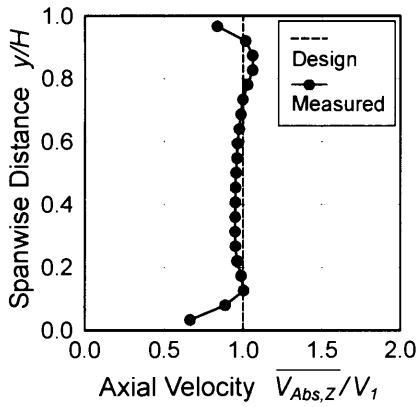
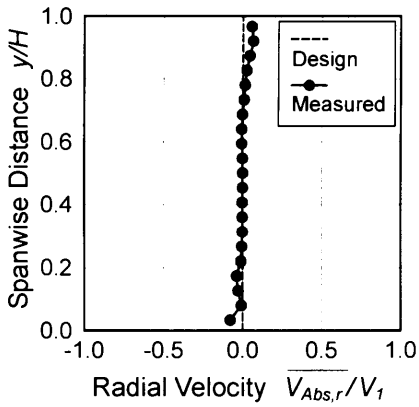
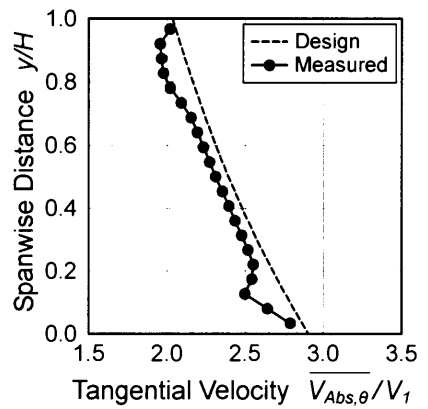
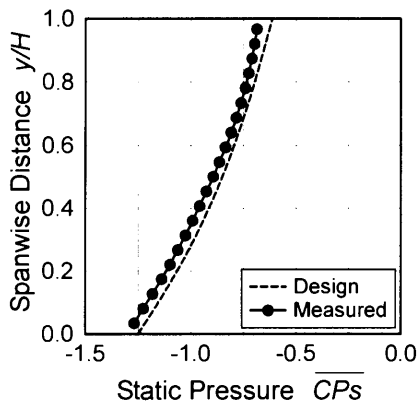
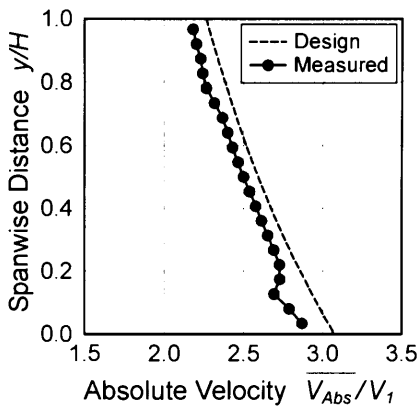
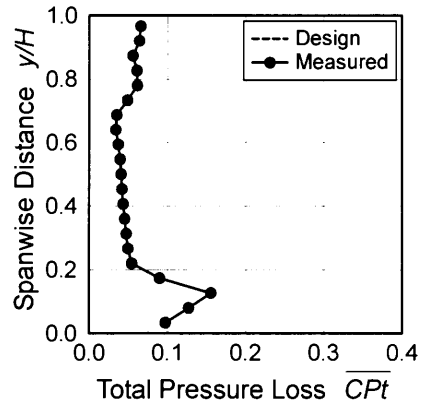
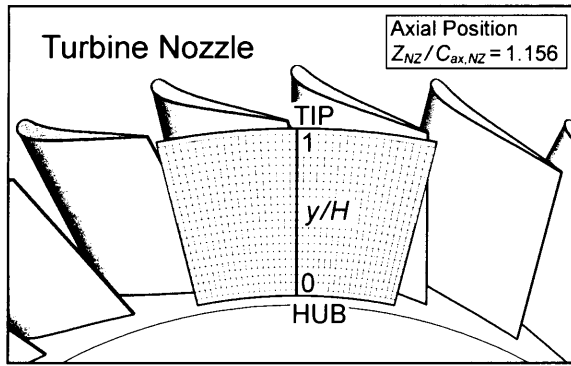
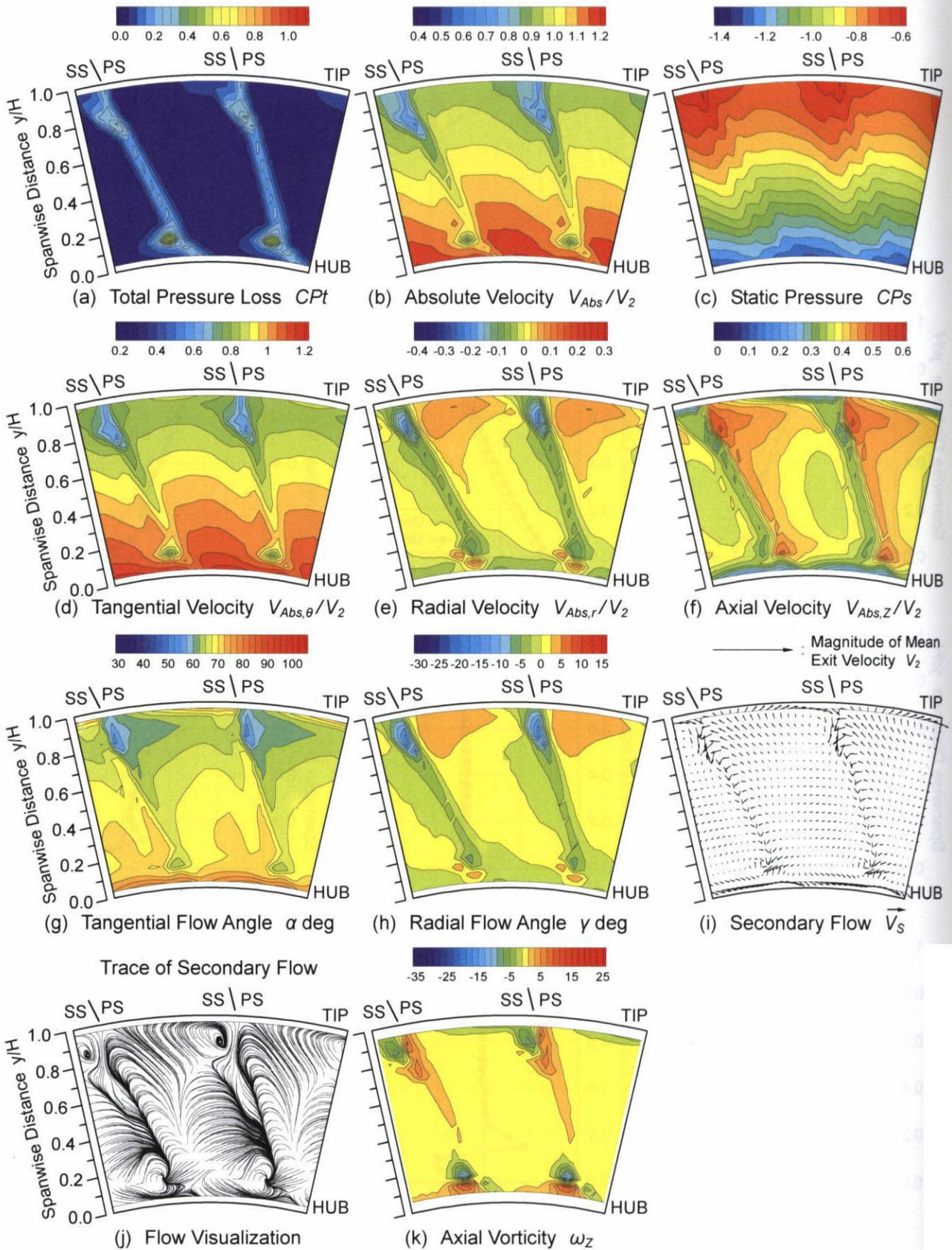


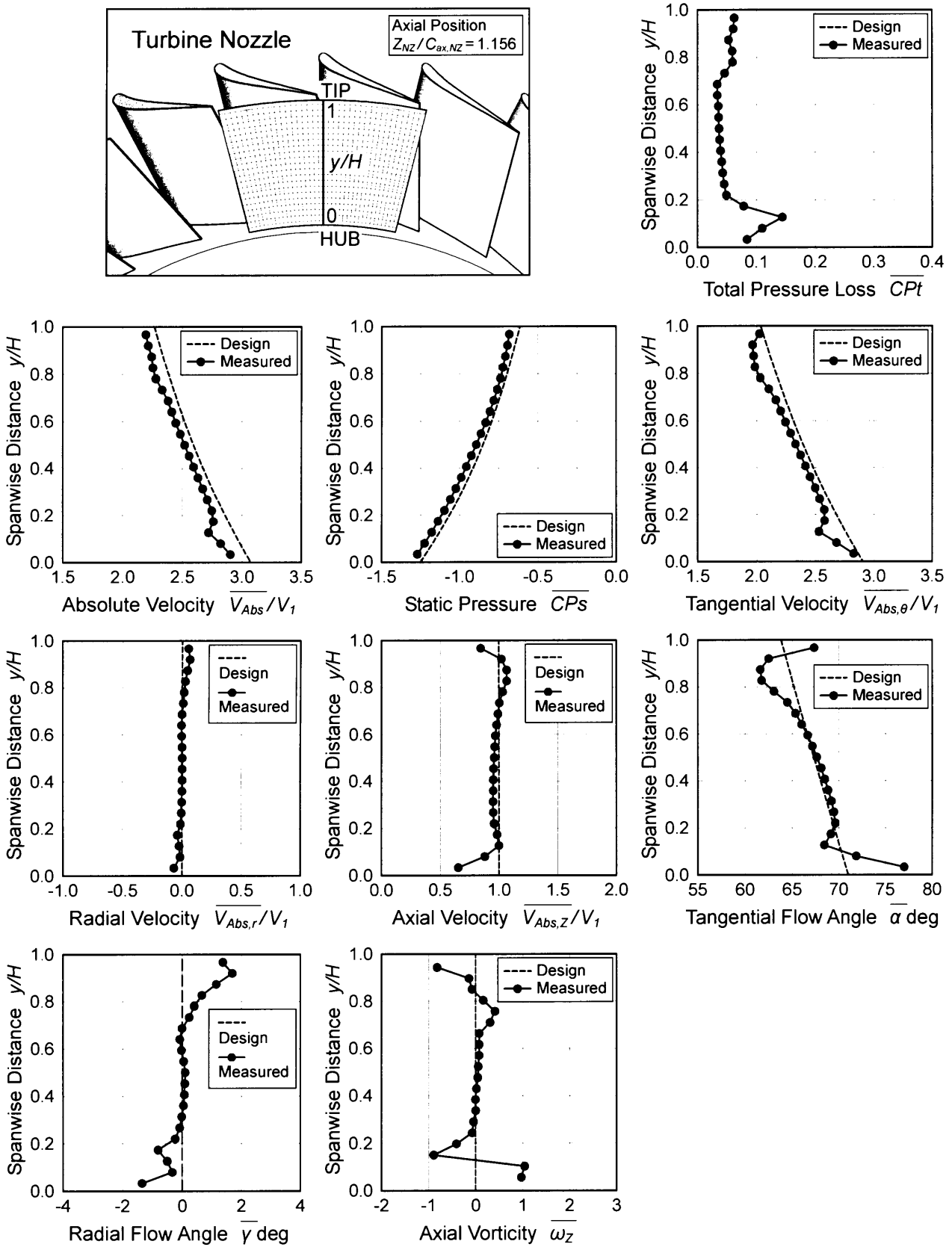
付図 2.33 レイノルズ数 $Re_{out,NZ}=13.3 \times 10^4$ ，主流乱れ度 $Tu_{in}=5.8\%$ ，チップクリアランス $k/H=0.00\%$ における静翼出口流れの測定結果 ($Z_{NZ}/C_{ax,NZ}=1.156$)



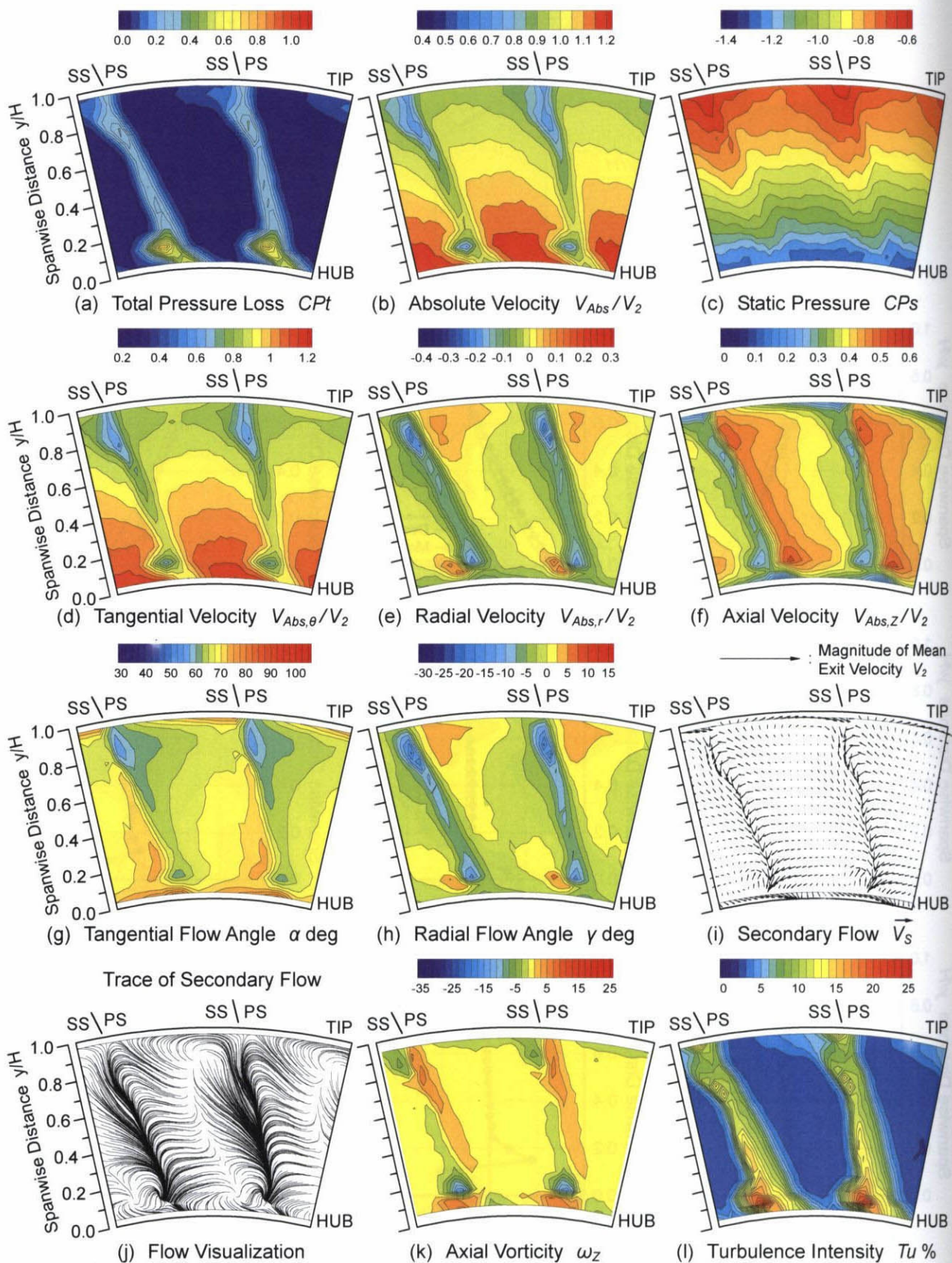
付図 2.34 レイノルズ数 $Re_{out,NZ} = 13.3 \times 10^4$, 主流乱れ度 $Tu_{in} = 5.8\%$, チップクリアランス $k/H = 0.00\%$ における静翼出口流れの半径方向分布



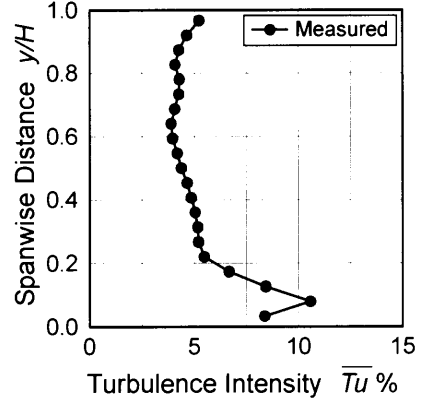
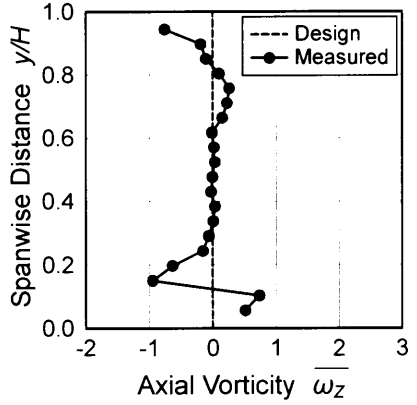
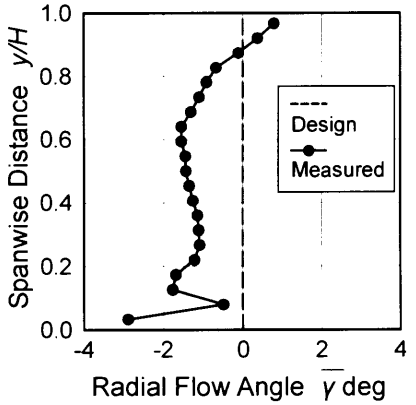
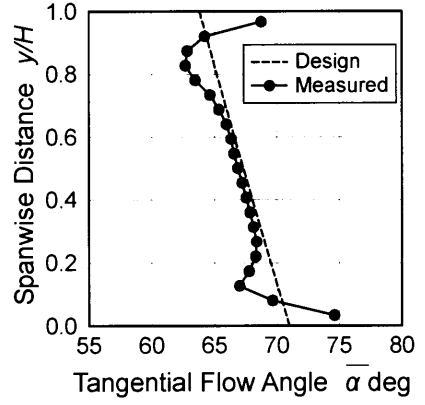
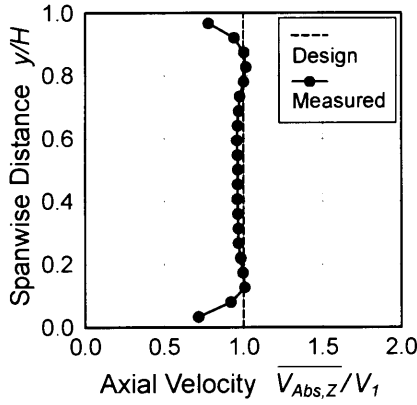
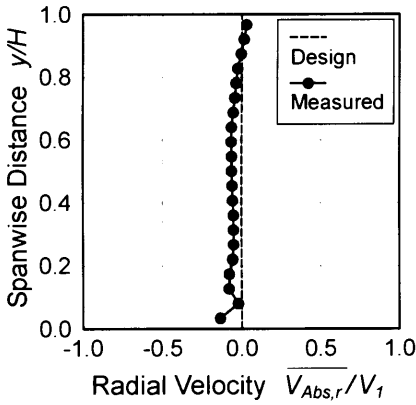
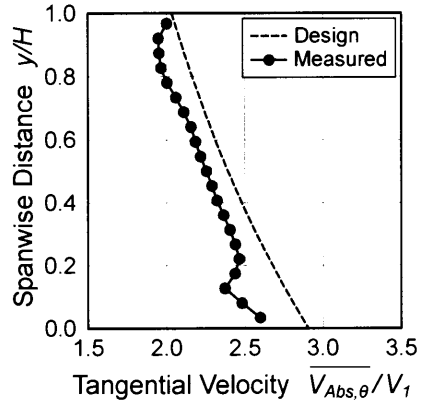
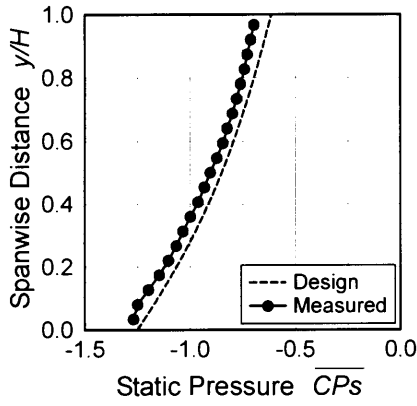
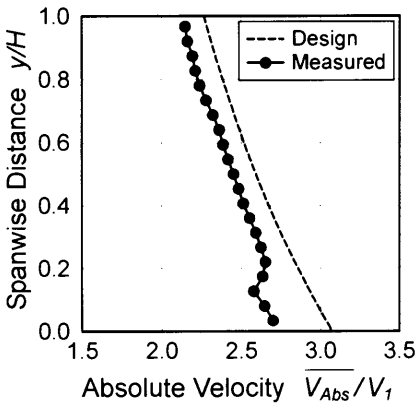
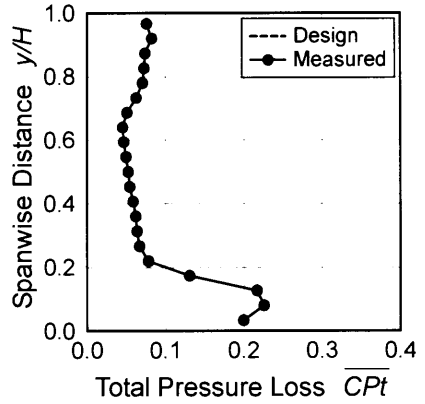
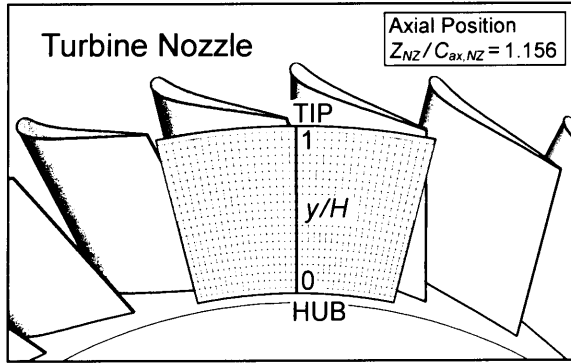
付図 2.35 レイノルズ数 $Re_{out,NZ}=17.8 \times 10^4$ 、主流乱れ度 $Tu_{in}=5.6\%$ 、チップクリアランス $k/H=0.00\%$ における静翼出口流れの測定結果 ($Z_{NZ}/C_{ax,NZ}=1.156$)



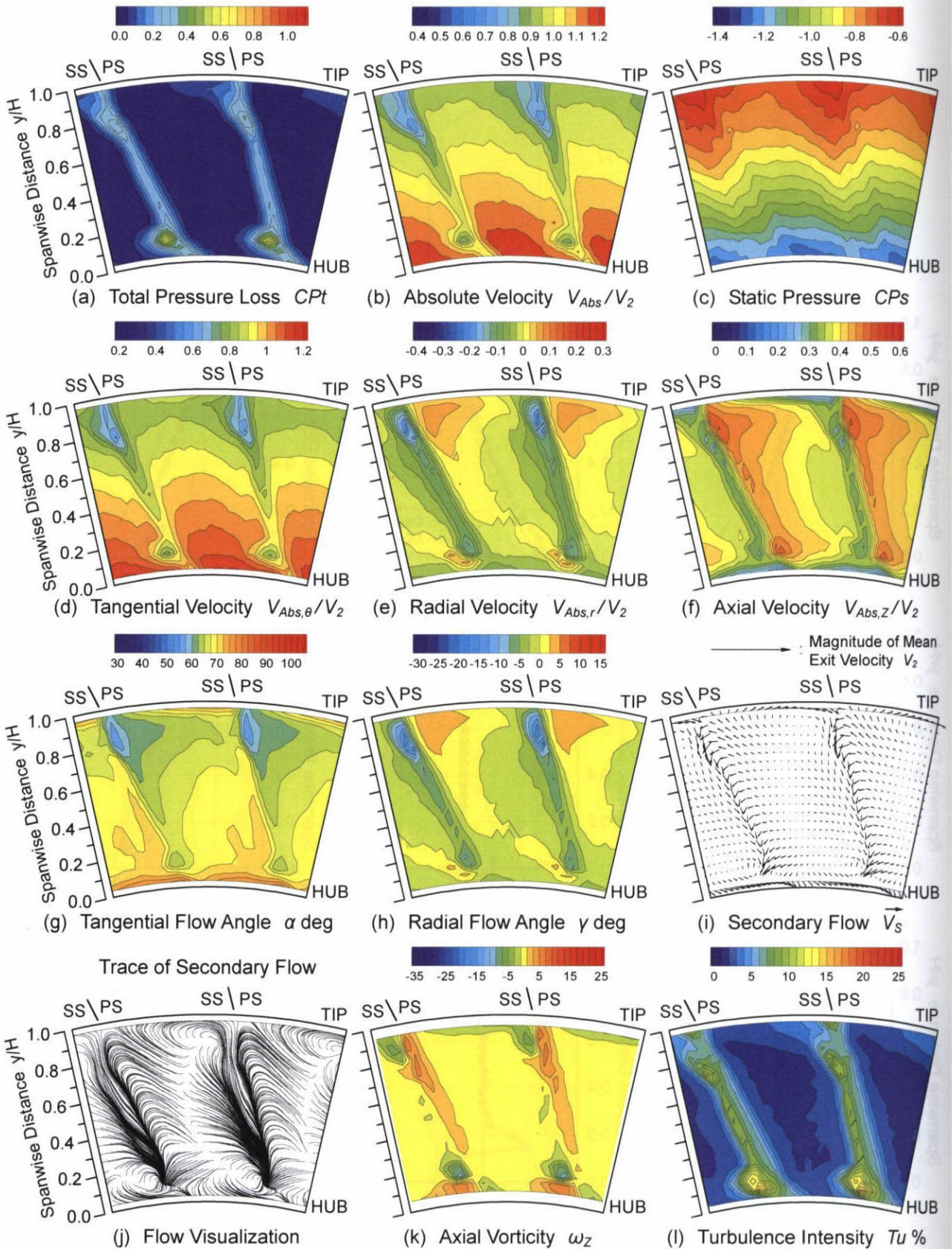
付図 2.36 レイノルズ数 $Re_{out,NZ} = 17.8 \times 10^4$, 主流乱れ度 $Tu_{in} = 5.6\%$, チップクリアランス $k/H = 0.00\%$ における静翼出口流れの半径方向分布



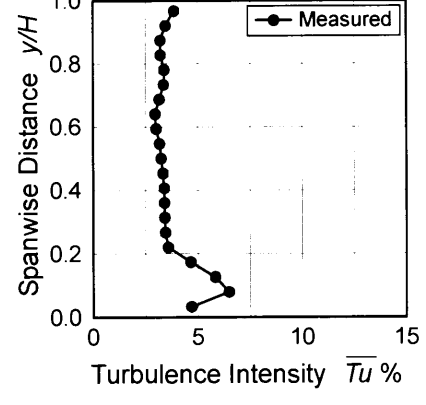
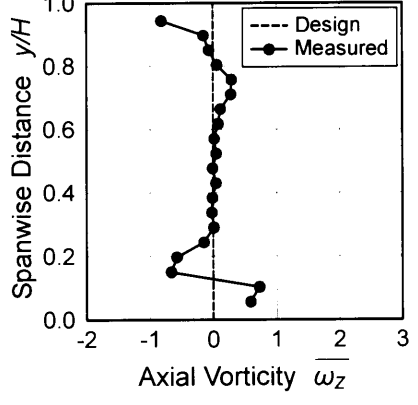
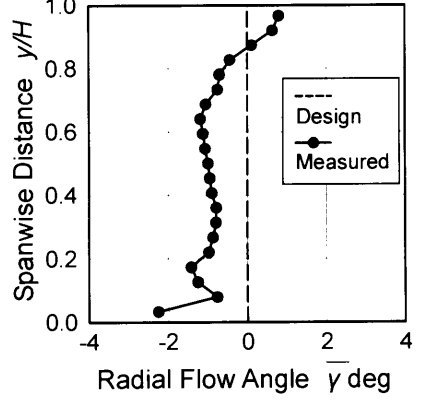
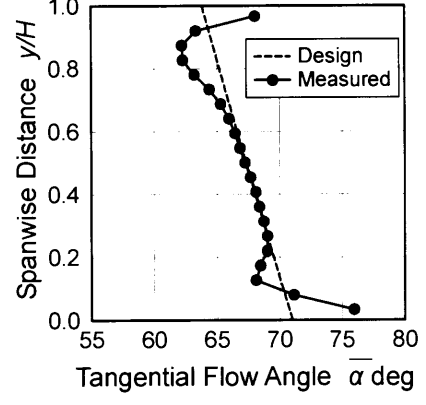
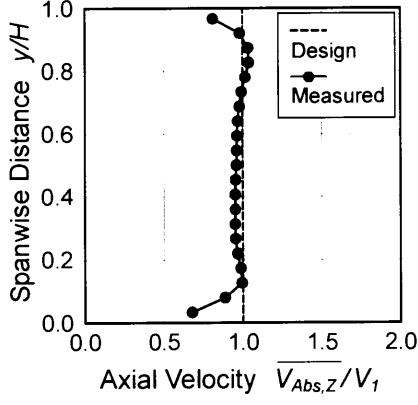
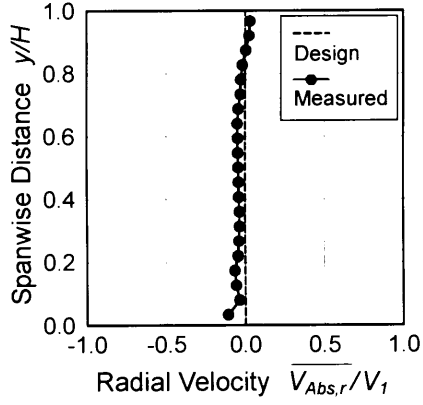
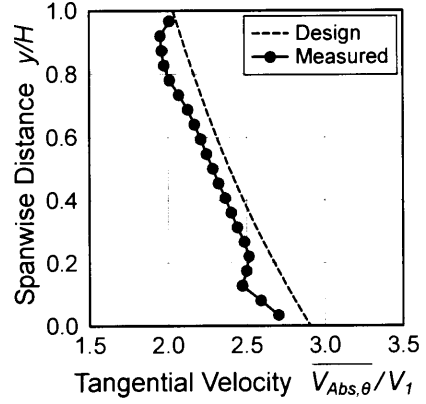
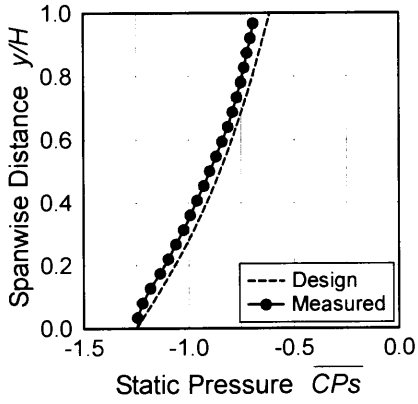
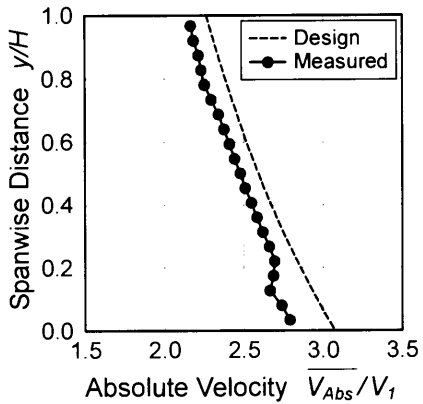
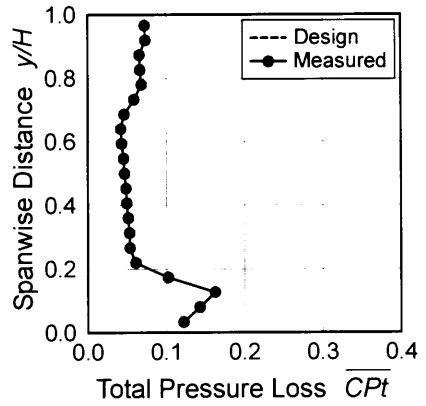
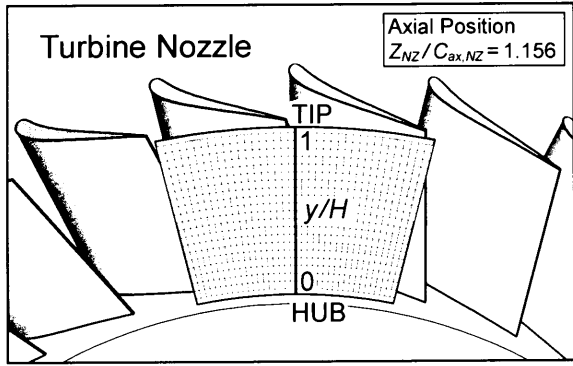
付図 2.37 レイノルズ数 $Re_{out,NZ}=4.4 \times 10^4$, 主流乱れ度 $Tu_{in}=9.4\%$, チップクリアランス $k/H=0.00\%$ における静翼出口流れの測定結果 ($Z_{NZ}/C_{ax,NZ}=1.156$)



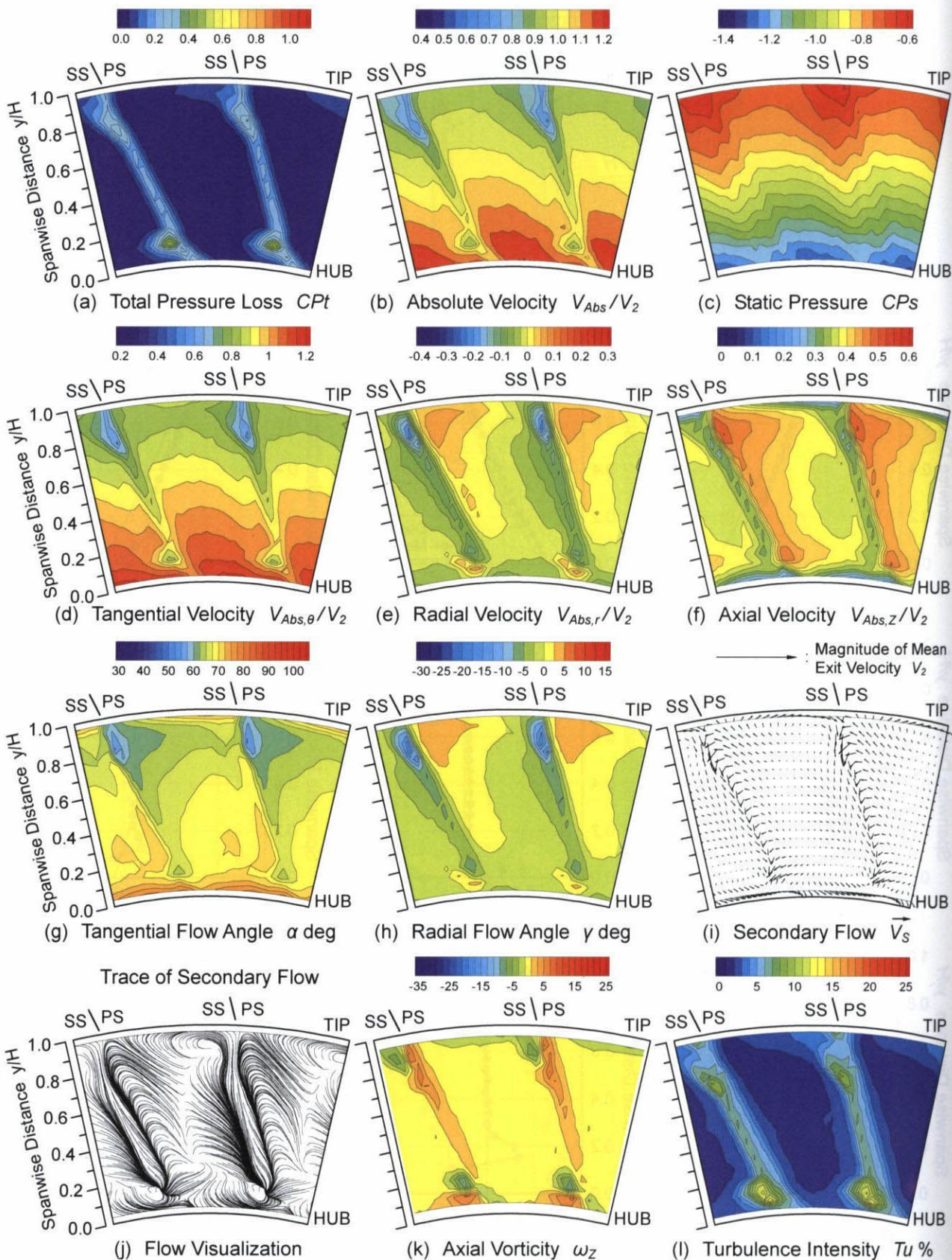
付図 2.38 レイノルズ数 $Re_{out,NZ} = 4.4 \times 10^4$, 主流乱れ度 $Tu_{in} = 9.4\%$, チップクリアランス $k/H = 0.00\%$ における静翼出口流れの半径方向分布



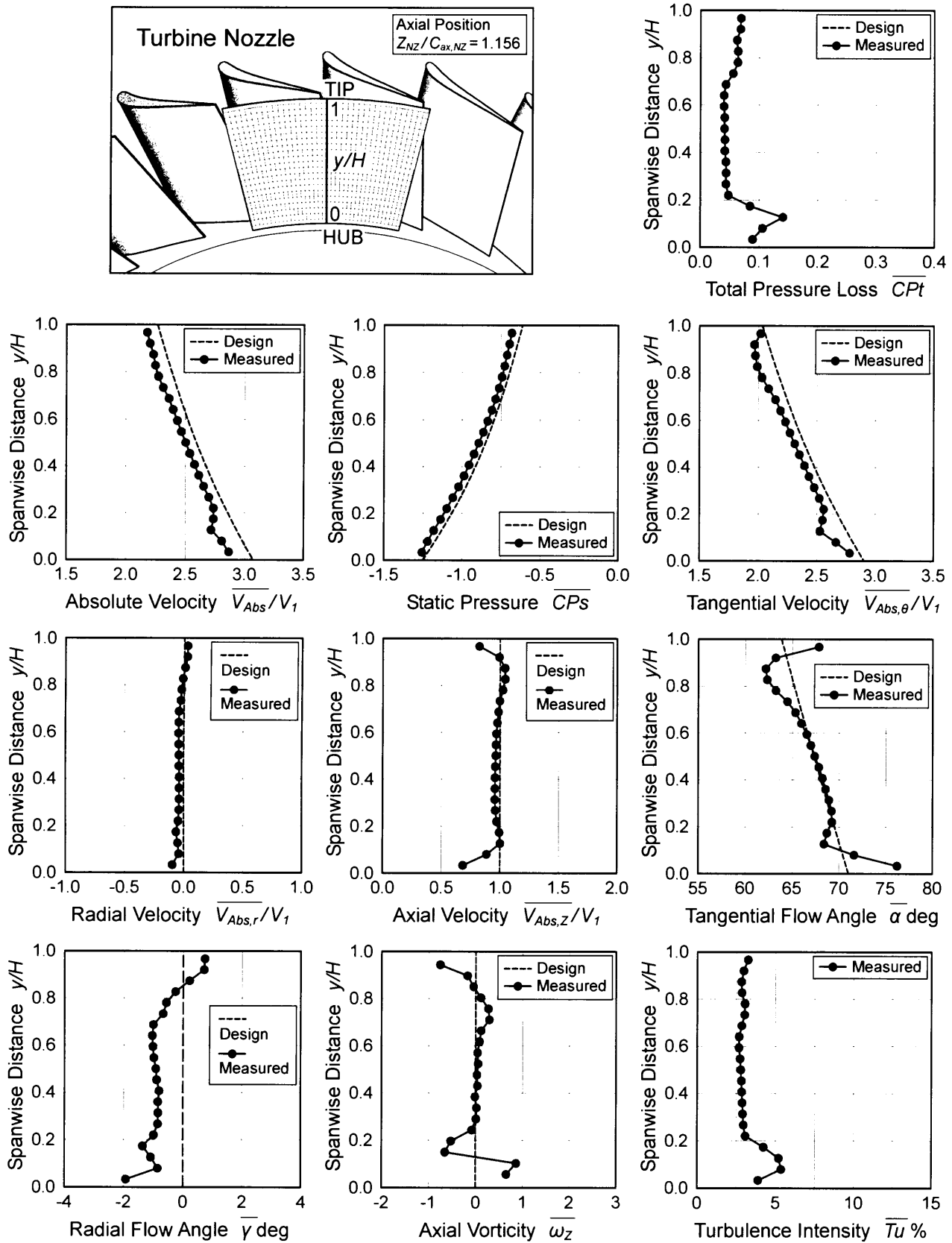
付図 2.1 レイノルズ数 $Re_{out,NZ}=9.0 \times 10^4$, 主流乱れ度 $Tu_{in}=8.7\%$, チップクリアランス $k/H=0.00\%$ における静翼出口流れの測定結果 ($Z_{NZ}/C_{ax,NZ}=1.156$)



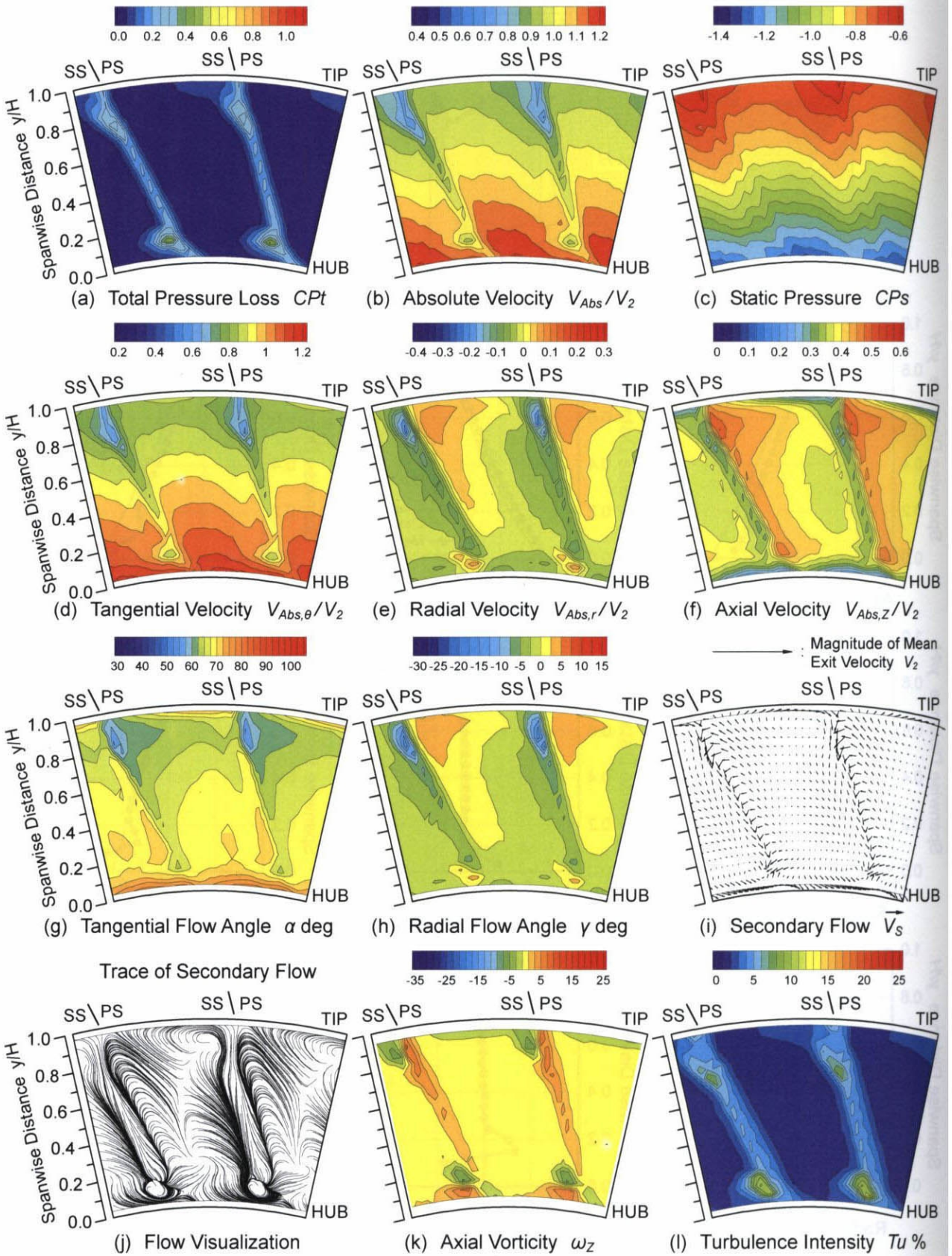
付図 2.40 レイノルズ数 $Re_{out,NZ} = 9.0 \times 10^4$, 主流乱れ度 $Tu_{in} = 8.7\%$, チップクリアランス $k/H = 0.00\%$ における静翼出口流れの半径方向分布



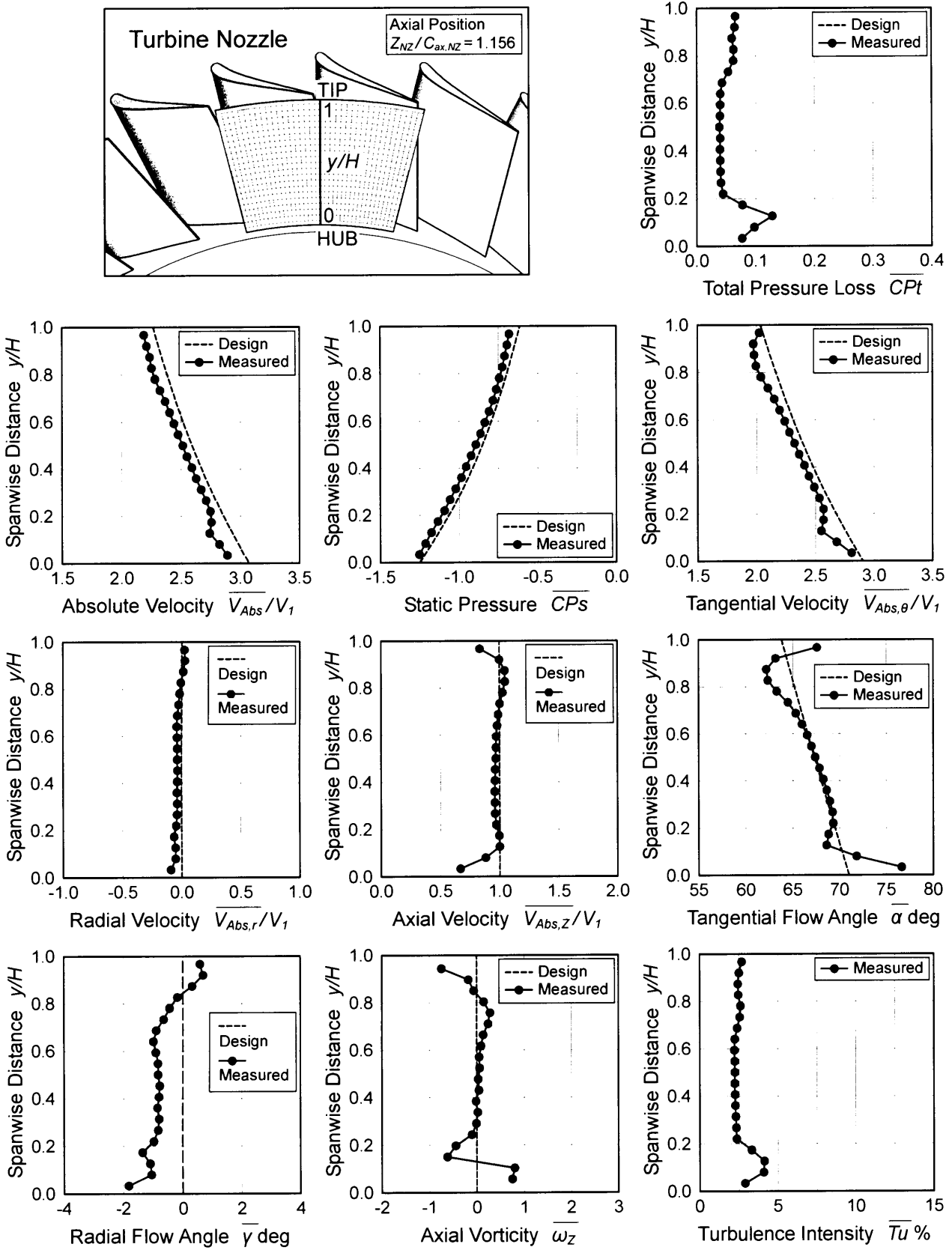
付図 2.41 レイノルズ数 $Re_{out,NZ} = 13.5 \times 10^4$, 主流乱れ度 $Tu_{in} = 8.7\%$, チップクリアランス $k/H = 0.00\%$ における静翼出口流れの測定結果 ($Z_{NZ}/C_{ax,NZ} = 1.156$)



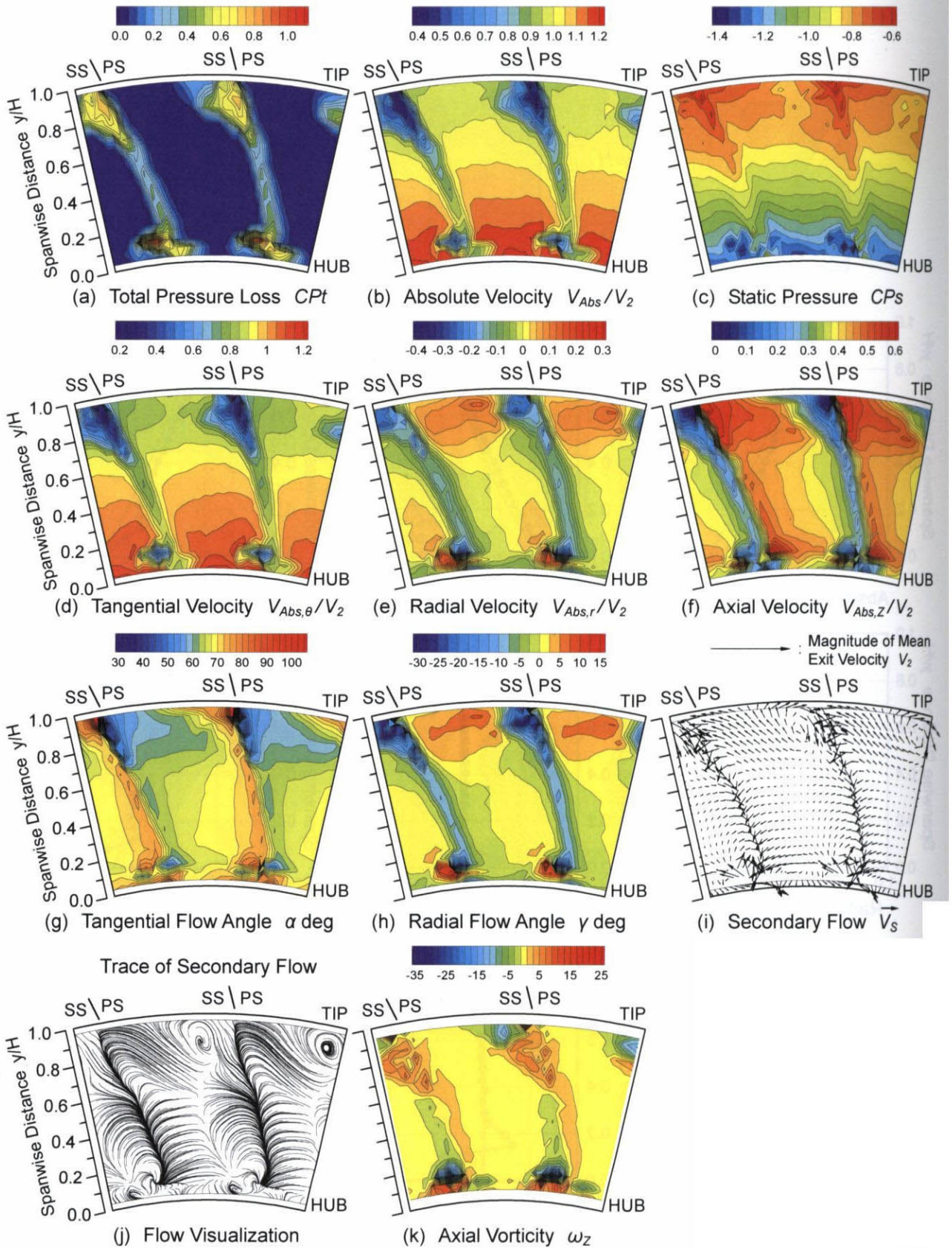
付図 2.42 レイノルズ数 $Re_{out,NZ} = 13.5 \times 10^4$ 、主流乱れ度 $Tu_m = 8.7\%$ 、チップクリアランス $k/H = 0.00\%$ における静翼出口流れの半径方向分布



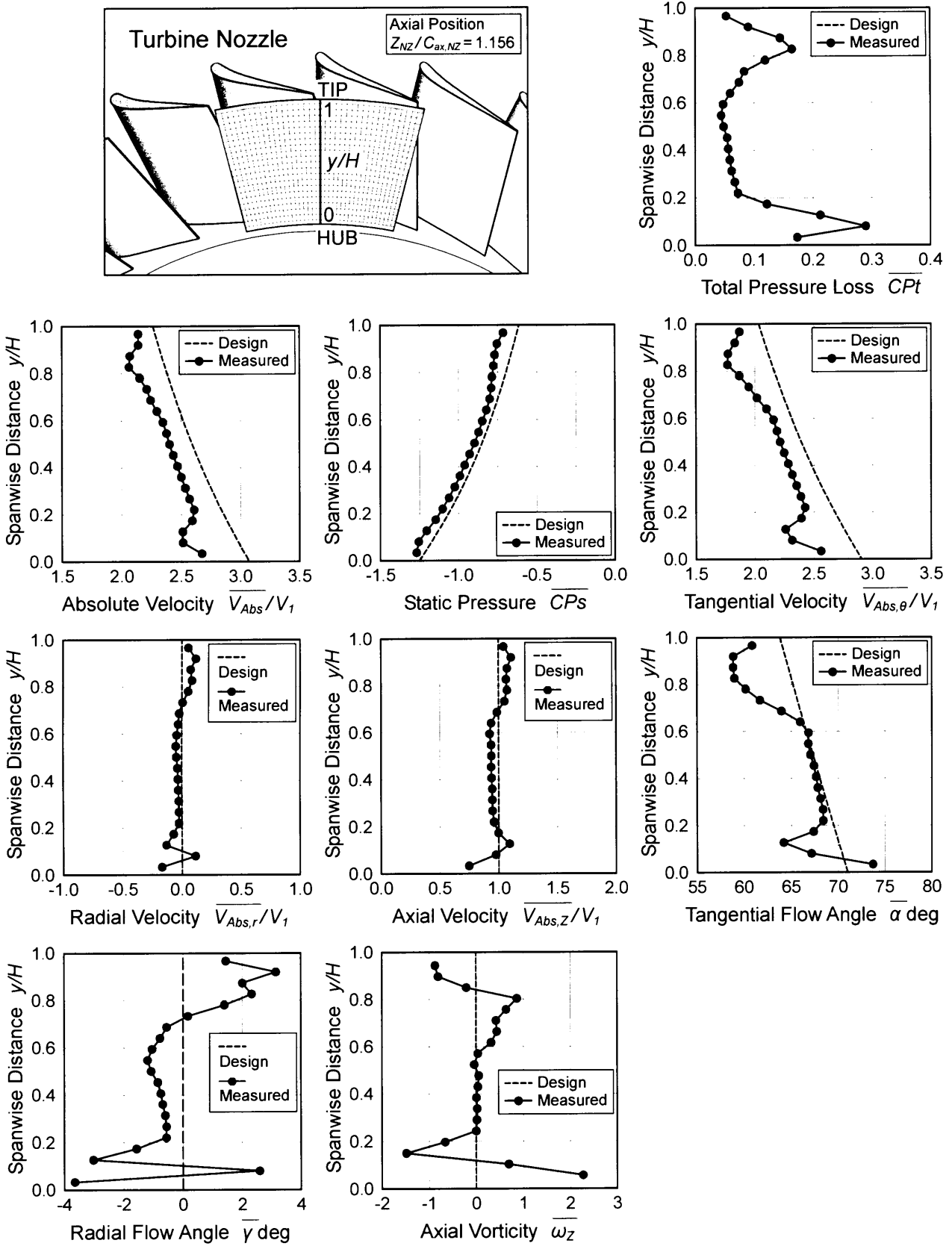
付図 2.43 レイノルズ数 $Re_{out,NZ} = 17.9 \times 10^4$, 主流乱れ度 $Tu_{in} = 8.6\%$, チップクリアランス $k/H = 0.00\%$ における静翼出口流れの測定結果 ($Z_{NZ}/C_{ax,NZ} = 1.156$)



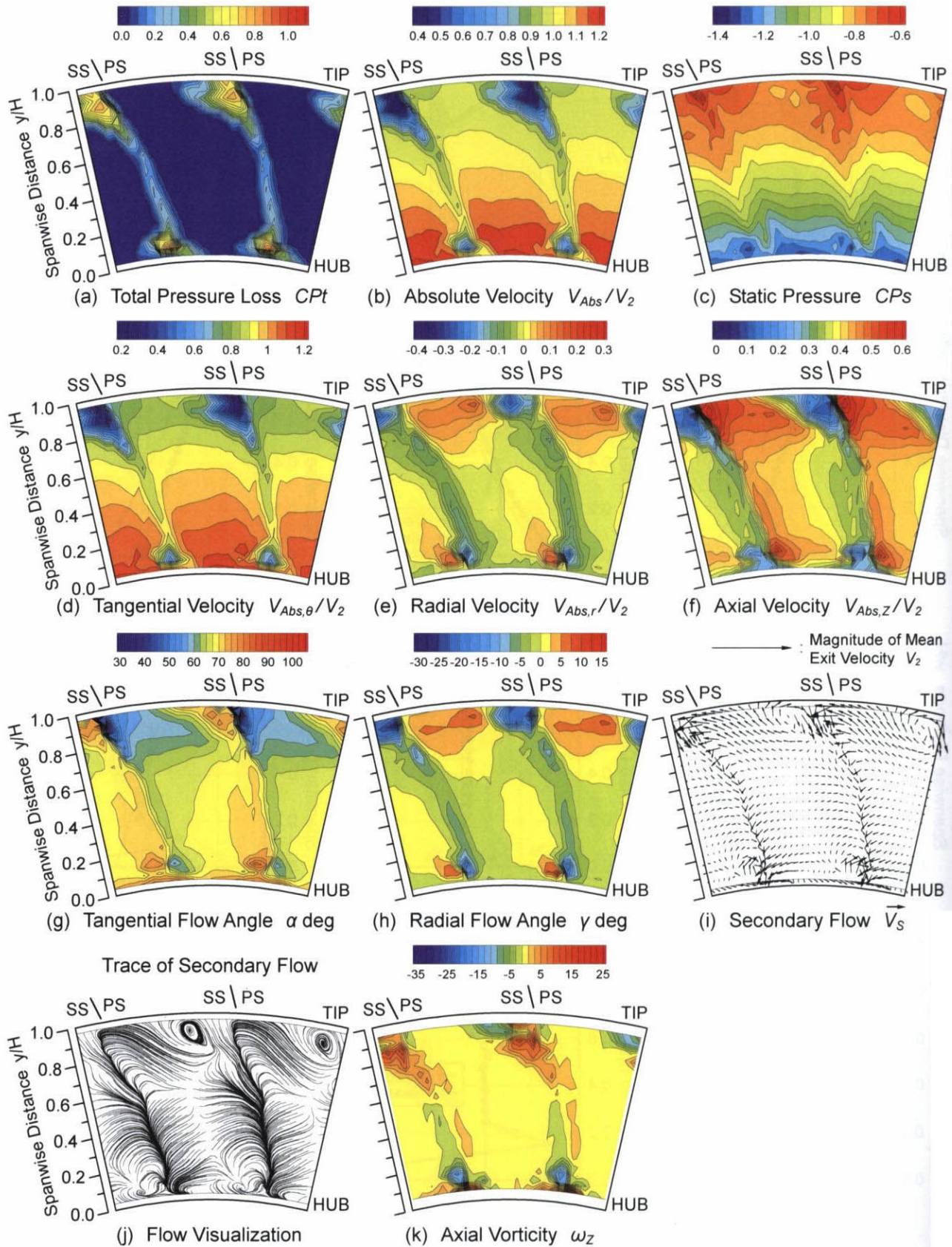
付図 2.44 レイノルズ数 $Re_{out,NZ} = 17.9 \times 10^4$, 主流乱れ度 $Tu_m = 8.6\%$, チップクリアランス $k/H = 0.00\%$ における静翼出口流れの半径方向分布



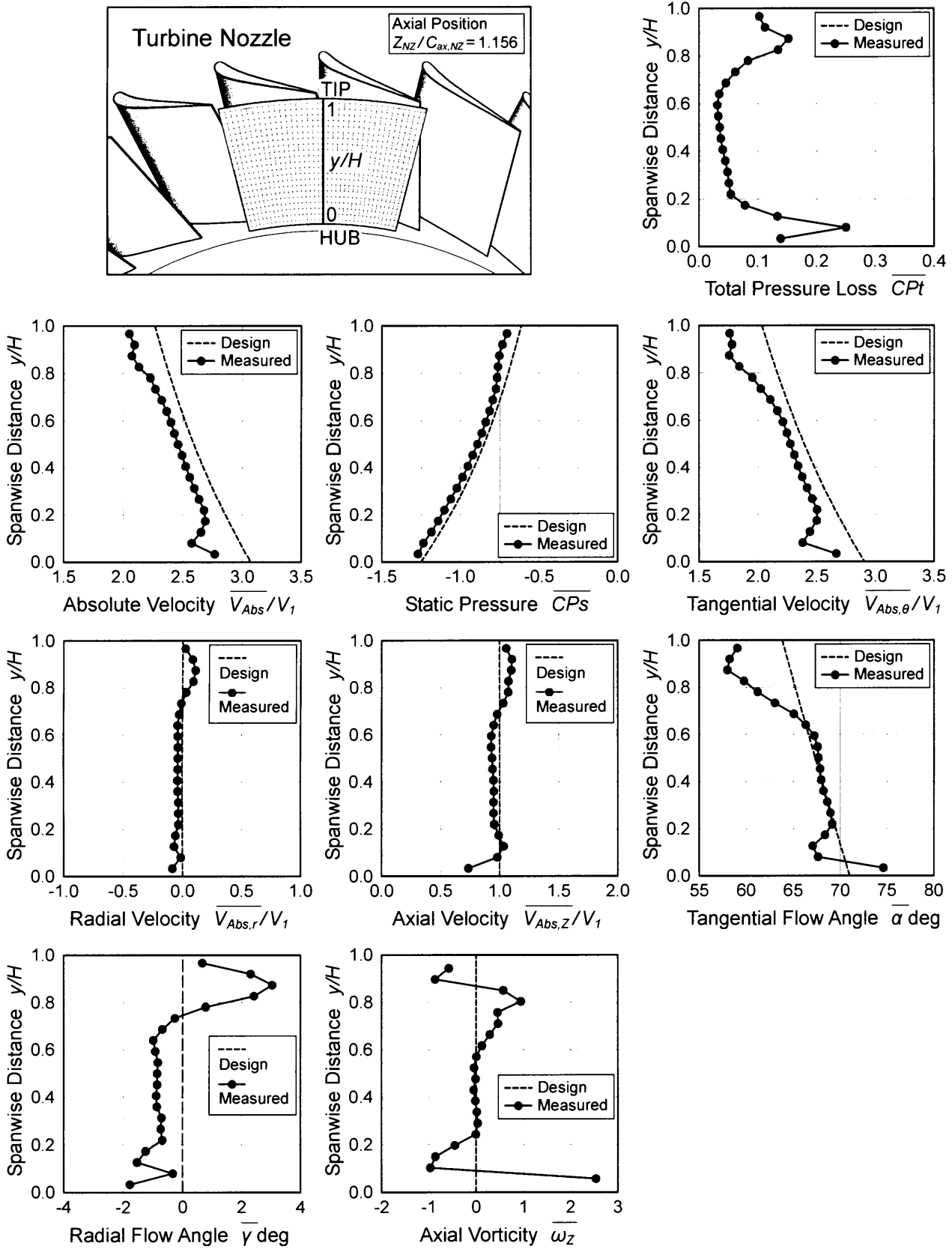
付図 2.45 レイノルズ数 $Re_{out,NZ}=4.3 \times 10^4$, 主流乱れ度 $Tu_{in}=0.5\%$, チップクリアランス $k/H=0.67\%$ における静翼出口流れの測定結果 ($Z_{NZ}/C_{ax,NZ}=1.156$)



付図 2.46 レイノルズ数 $Re_{out,NZ} = 4.3 \times 10^4$, 主流乱れ度 $Tu_{in} = 0.5\%$, チップクリアランス $k/H = 0.67\%$ における静翼出口流れの半径方向分布



付図 2.47 レイノルズ数 $Re_{out,NZ}=8.6 \times 10^4$ ，主流乱れ度 $Tu_{in}=0.5\%$ ，チップクリアランス $k/H=0.67\%$ における静翼出口流れの測定結果 ($Z_{NZ}/C_{ax,NZ}=1.156$)



付図 2.48 レイノルズ数 $Re_{out,NZ} = 8.6 \times 10^4$, 主流乱れ度 $Tu_{in} = 0.5\%$, チップクリアランス $k/H = 0.67\%$ における静翼出口流れの半径方向分布